

# 从夹卷的角度探讨雾不同阶段微物理量的变化机理

吴诗晓，陆春松，朱磊，高思楠，吕晶晶

南京信息工程大学中国气象局气溶胶与云降水重点开放实验室/气象灾害预报预警与评估协同创新中心，  
南京 210044

**摘要** 夹卷混合过程作为影响云雾的主要物理过程之一，对云雾的生命周期、云雾降水的形成过程、辐射传输过程和气溶胶间接效应等都有着重要影响。本文从微物理和动力两个方面探讨辐射雾中的夹卷混合机制，既促进对夹卷混合机制的理论认识，又从新的角度来讨论辐射雾的发展消亡过程。利用 2006 年和 2007 年冬季在南京进行的雾综合观测的资料，研究了 9 个个例中的夹卷混合机制。首先，针对 2007 年 12 月 10-11 日这一次辐射雾过程进行详细分析，探讨了不同阶段微物理量的变化和夹卷混合机制。结果表明：成熟阶段主要为极端非均匀夹卷混合机制，数浓度和含水量同时减小，体积平均半径却基本保持不变；快速消散阶段主要为均匀夹卷混合机制，各微物理参量同时减小，互为正相关关系。除了微物理，本文也分析了夹卷混合机制的动力特征，计算了过渡尺度数，发现在成熟（快速消散）阶段，过渡尺度数小（大），有利于极端非均匀（均匀）夹卷混合机制的发生。其次，分析了其他 8 个个例中微物理量之间的相关关系，发现体积平均半径和含水量之间主要呈正相关关系，以均匀夹卷混合为主。所得结果有助于夹卷混合机制参数化方案的开发，同时为辐射雾的模拟预报提供参考。

**关键词** 夹卷混合 辐射雾 微物理关系 南京

**文章编号**

**doi:**10.3878/j.issn.1006-9895.2100.20000

## Examination of mechanisms underlying the variations of microphysical properties in different fog phases from the perspective of entrainment

WU Shixiao, LU Chunsong, ZHU Lei, GAO Sinan, and LV Jingjing

*Key Laboratory for Aerosol-Cloud-Precipitation of China Meteorological Administration, and Collaborative Innovation Center on Forecast and Evaluation of Meteorological Disasters, Nanjing University of Information Science & Technology, Nanjing 210044*

**Abstract** As one of the main processes affecting cloud and fog, entrainment-mixing process has

---

收稿日期 2020-08-05； 网络预出版日期

作者简介 吴诗晓，女，1996 年 4 月生，硕士研究生，主要从事云降水物理方向研究。E-mail:  
[wushixiao20@outlook.com](mailto:wushixiao20@outlook.com)

通讯作者 陆春松，E-mail: [luchunsong110@163.com](mailto:luchunsong110@163.com)

资助项目 国家重点研发计划(2019YFA0606803)，国家自然科学基金项目(41822504、41975181、41675136、41875170、42027804)，江苏省青蓝工程(R2018Q05)

Funded by National Key Research and Development Program of China (Grant 2019YFA0606803), National Natural Science Foundation of China (Grant 41822504, 41975181, 41675136, 41875170, 42027804), Qinglan Project of Jiangsu Province, China (Grant R2018Q05)

30 an important impact on the cloud/fog life cycle, precipitation formation, radiative transfer, aerosol  
31 indirect effect evaluation and so on. In this study, entrainment-mixing mechanisms in a radiation  
32 fog was discussed from the microphysical and dynamical perspectives, which not only improved  
33 the theoretical understanding of entrainment-mixing mechanisms, but also revealed the  
34 development and dissipation of radiation fog from a new perspective. By using the comprehensive  
35 field observational data in Nanjing during the 2006 and 2007 winter, entrainment-mixing  
36 mechanisms in nine fog cases were analysed. First, a radiation fog event during 10 - 11 December  
37 2007 was studied to understand microphysical relationships and entrainment-mixing mechanisms  
38 during different phases in detail. Results showed that the extreme inhomogeneous  
39 entrainment-mixing was found in the mature phase, in which volume-mean radius changed  
40 slightly as number concentration and liquid water content decreased. The homogeneous  
41 entrainment-mixing was found in the rapid dissipation phase, in which all microphysical  
42 properties decreased simultaneously with positive correlations. Except for microphysical  
43 properties, the scale number was calculated as a dynamical measure for entrainment-mixing  
44 mechanisms. In the mature (rapid dissipation) phase, the scale number was small(large), indicating  
45 that the extreme inhomogeneous(homogeneous) entrainment-mixing was most likely to occur.  
46 Then the microphysical relationships of the other 8 fog events were examined, which indicated  
47 that volume-mean radius had positive correlations with liquid water content in general, i.e.,  
48 homogeneous entrainment-mixing dominated. The research results were helpful to the  
49 development of parameterization schemes of entrainment-mixing mechanisms, and provided  
50 reference for the simulation and prediction of radiation fog.

51 **Keywords** Entrainment-mixing, Radiation fog, Microphysical relationships, Nanjing

## 52 1 引言

53 雾是大量水滴或冰晶微粒悬浮于大气边界层内，使水平能见距离降至 1 km 以下的天气  
54 现象(李子华等, 2008)。根据能见度可将雾分为能见度介于 0.5~1 km 的雾, 0.05~0.5 km 的浓  
55 雾, 小于 0.05 km 的强浓雾(中央气象局, 2003)。雾, 尤其是浓雾, 会使区域能见度大大降低,  
56 对人体健康、交通运输、工农业生产等等产生日益显著的不利影响, 甚至会引发灾难性事故,  
57 导致重大生命财产损失(Gultepe et al., 2007; Niu et al., 2010b)。因此人们对雾这种灾害性天气  
58 现象非常重视, 并开展了一系列的研究。

59 自上个世纪 Taylor (1917)首次对雾进行观测研究以来, 许多学者开始在世界各地开展雾  
60 外场观测外场试验, 如美国纽约附近的埃尔迈拉山(Pilié et al., 1975)、英国贝福德郡卡丁顿  
61 (Roach et al., 1976)、意大利波河流域(Fuzzi et al., 1992, 1998)、美国圣华金山谷(Collett et al.,  
62 2001)、加拿大东海岸和安大略省(Gultepe et al., 2009)、法国巴黎(Haeffelin et al., 2010)等。国  
63 内也在多地开展了雾的观测研究, 如成都双流机场(郭恩铭等, 1989)、上海(鲍宝堂和束家鑫,  
64 1995)、西双版纳(黄玉生等, 1992)、重庆(李子华和彭中贵, 1994)、沪宁高速公路(李子华等,  
65 1999)、广东南岭(吴兑等, 2007)、陕西(胡朝霞等, 2011)、南京市郊(Liu et al., 2012; Niu et al.,  
66 2012; Liu et al., 2011; 陆春松等, 2010; 李子华等, 2011; Li et al., 2019; 刘端阳, 2011)、华北  
67 (Guo et al., 2015; Jia et al., 2019)等。以上学者对雾进行了大量观测研究, 从不同角度深入分  
68 析了雾中的核化、凝结、碰并、蒸发等物理过程, 但是对雾中的夹卷混合过程研究却很少。

69 然而在影响云雾的主要物理过程中，夹卷混合过程也是非常重要的物理过程之一。

70 夹卷是指环境空气被卷入到云雾中，影响云雾中宏微观物理量的过程。Stommel (1947)  
71 首次发现干空气被卷进入积云，并提出夹卷这一概念。对于积云来说，夹卷可以在云的侧边  
72 界也可以在云顶处发生，而对于层状云或者雾来说，由于水平范围很大，夹卷主要发生在云  
73 顶，侧边界的夹卷影响很小。夹卷混合过程对云雾降水的影响具有两面性，一方面导致云雾  
74 含水量减少从而削弱降水，另一方面又使云雾滴谱增宽从而有利于降水的形成(Cooper et al.,  
75 2013)；在利用大涡模式对层积云的模拟中发现，夹卷混合过程对云雾的反照率有很大影响  
76 (Chosson et al., 2007)；夹卷混合过程对气溶胶的间接效应也有削弱和增强两种不同的影响  
77 (Kim et al., 2008)。由此可以看出夹卷混合过程对云雾降水的形成过程、云雾的生命周期、  
78 辐射传输过程和气溶胶间接效应等都有着重要影响。

79 夹卷混合机制关注的是干空气被卷入云雾之后微物理量的变化，关于该机制，学者们建  
80 立了多个概念模型，其中均匀/非均匀夹卷混合模型应用最为广泛(Baker et al., 1980; Yum,  
81 1998; Lu et al., 2011, 2018a)。在湍流作用下干空气和云雾混合的同时，云雾滴会发生蒸发过  
82 程。可以通过混合和蒸发哪个过程更快，来区分不同的夹卷混合过程。均匀夹卷混合过程  
83 (Warner, 1973; Baker et al., 1980)湍流比较强，混合比蒸发快，干空气被卷入云雾中之后马上  
84 与云雾混合均匀，全部云雾滴处于相同的不饱和度中，同时蒸发尺度减小，数浓度和含水量  
85 因干空气的稀释作用也减小，云雾滴谱向左移。非均匀夹卷混合过程(Latham and Reed, 1977;  
86 Baker and Latham, 1979)湍流比较弱，蒸发比混合快，不同云雾滴所处的不饱和度不同，云  
87 雾滴蒸发不均匀，靠近干空气的云雾滴蒸发而其余云雾滴不受影响，云雾滴尺度不变，数浓  
88 度和含水量减小，云雾滴谱向下移。

89 国内外通过外场观测(Gerber et al., 2013; Lu et al., 2011, 2018a)、理论推导(Jeffery, 2007)  
90 以及数值模拟(Kumar et al., 2018; Hoffmann and Feingold, 2019)，对云雾中的夹卷混合过程进  
91 行了深入分析。Telford and Chai (1993)利用雾的飞机观测资料发现，雾中湍流较弱，雾滴被  
92 夹卷稀释导致雾滴尺度几乎恒定但数浓度变化很大。虽然开展了大量的研究，但是对于一个  
93 夹卷混合过程，它的均匀程度、各个影响因子的作用及相互影响的机理，仍然不清楚  
94 (Lehmann et al., 2009; Luo et al., 2020)。有些研究认为均匀夹卷混合机制占主导(Jensen et al.,  
95 1985; Burnet and Brenguier, 2007)，有些认为极端非均匀夹卷混合机制占主导(Burnet and  
96 Brenguier, 2007; Gerber et al., 2008; Freud et al., 2011)，有些则认为夹卷混合机制介于两者之  
97 间(Lehmann et al., 2009; Luo et al., 2020)。因此需要进一步开展云雾夹卷混合机制的观测分  
98 析。

99 最近，Yang and Gao (2019)考虑雾顶的夹卷后改善了海雾的模拟效果，主要是因为夹卷  
100 作用导致雾中温度增大、湿度降低、湍流增强；增温和降湿的影响从雾顶向下扩散，抬升了  
101 海雾的雾底，使海雾的模拟与观测更为接近。鉴于此，分析雾中的夹卷过程对理解雾中微物  
102 理、热力、动力过程和生消机制是非常有必要的。

103 本文分析了 2006 年和 2007 年南京冬季雾的微物理关系，并对 2007 年 12 月 10-11 日一  
104 次辐射雾过程进行深入分析，从微物理和动力两个方面探讨辐射雾成熟和快速消散阶段中夹

105 卷混合机制的影响因子。一方面,本文促进对夹卷混合机制的理论认识和参数化方案的开发;  
106 另一方面,揭示雾的不同阶段夹卷混合过程对雾的影响,从新的角度来讨论辐射雾的发展消  
107 亡过程,为辐射雾的模拟预报提供参考,减少辐射雾带来的损害。

## 108 2 观测资料和研究方法

### 109 2.1 资料来源

110 2006 年和 2007 年冬季,在江苏省南京市北郊南京信息工程大学西苑田径场 ( $32^{\circ}12'N$ ,  
111  $118^{\circ}42'E$ , 海拔高度 25m) 进行了冬季雾的综合外场观测试验, 其中部分观测仪器及其直接  
112 观测项目如表 1 所示。

113 水平能见度采用江苏省无线电科学研究所有限公司制造的 ZQZ-DN2 型能见度仪进行自  
114 动观测, 其原理是将前向散射角  $33^{\circ}$  的散射光强度经处理后转换成能见度值。雾微物理参量  
115 (数浓度、含水量、体积平均半径等) 由美国 Droplet Measurement Technologies (DMT) 公  
116 司生产的 FM-100 型雾滴谱仪的测量得到, 其根据 Mie 散射原理, 通过不同大小的雾滴形成  
117 的激光散射强度来对雾滴进行分档、计数, 可测直径介于  $2\sim50\mu m$  的雾滴, 采样频率 1Hz。  
118 为了更清晰地展示各个微物理量的时间演变和它们之间的关系, 本文把 1Hz 数据平均成  
119 1min, 结论与 1Hz 相同。温压湿风的垂直分布由芬兰 Vaisala 公司生产的系留汽艇  
120 (DigiCORA) 探测 (1Hz)。三维风速由美国 Campbell 公司生产的 CSAT3 超声风速仪测量  
121 (10Hz)。地面常规气象要素 (温度、气压、相对湿度、风速风向等) 采用自动气象站的观  
122 测数据 (1min)。除系留汽艇外, 其余仪器均架设于地面上。天气图及相关产品由南京信息  
123 工程大学气象台提供。

124 最初的夹卷过程确实发生在雾顶, 但是当干空气从雾顶卷入到雾中后, 由于雾滴的蒸发  
125 冷却, 干空气会下沉(Yang and Gao, 2019), 从而影响雾中不同高度的微物理量。云中的夹卷  
126 混合过程也提供了佐证。利用高分辨率云模式, Krueger (1993)指出, 被卷入的干空气不仅  
127 仅与层云云顶的云滴混合, 还会影响整个云层。除了分析云顶的夹卷混合机制外,  
128 Telford(1996)、Wang et al.(2009)、Yum et al.(2015)还探讨了夹卷混合机制随高度的变化。

129 表 1 观测项目概况

130 Table 1 List of instruments used during the experiment

观测仪器	仪器生产商	直接观测项目	架设高度
能见度仪 ZQZ-DN2	江苏无线电科学研究所	水平能见距离 (1min)	1.5m
雾滴谱仪 FM-100	美国 DMT	雾滴直径、数浓度、含水量 (1Hz)	1m
系留汽艇 DigiCORA	芬兰 Vaisala	气温、气压、相对湿度、风速、风向、 混合比廓线 (1Hz)	-
超声风速仪 CSAT3	美国 Campbell	三维风速、超声虚温 (10Hz)	3m
自动气象站	澳大利亚 ICT	气温、气压、相对湿度、风速、风向 (1min)	1.5m

131 2.2 研究方法

132 本文通过微物理和动力两个方面来区分均匀夹卷混合过程和极端非均匀夹卷混合过程。  
 133 微物理方法是指根据雾滴尺度和数浓度、含水量之间的关系来区分不同夹卷混合过程(Burnet  
 134 and Brenguier, 2007; Lehmann et al., 2009; Lu et al., 2011)。在均匀夹卷混合过程中，干空气卷  
 135 入后，由于干空气与雾滴混合的速率比雾滴蒸发快，先混合然后所有雾滴同时蒸发，尺度减  
 136 小，数浓度和含水量由于稀释和完全蒸发等原因也减小，雾滴尺度和数浓度、含水量呈正相  
 137 关关系。在极端非均匀夹卷混合过程中，由于蒸发比混合快，只有紧邻干空气的雾滴发生蒸  
 138 发且为完全蒸发，导致干空气达到饱和，而远离干空气的雾滴不发生蒸发，整个雾的雾滴浓  
 139 度和含水量减小，尺度不变。

140 而动力方面，本文通过计算 Lu et al. (2011)提出的无量纲数（过渡尺度数  $N_L$ ）来分析夹  
 141 卷混合机制。其定义为 Lehmann et al. (2009)提出的过渡长度( $L^*$ )和 Kolmogorov 微尺度( $\eta$ )  
 142 的比值：

$$143 \quad N_L = \frac{L^*}{\eta}, \quad (1)$$

$$144 \quad L^* = \varepsilon^{1/2} \tau_{react}^{3/2}, \quad (2)$$

$$145 \quad \eta = \left( \frac{\nu^3}{\varepsilon} \right)^{1/4}, \quad (3)$$

146 其中， $\varepsilon$  是湍流耗散率， $\tau_{react}$  是反应时间尺度，即云滴完全蒸发( $r=0$ )或者干空气相对湿度  
 147 达到 99.5%(过饱和度  $s > -0.005$ )所需的时间， $\nu$  为运动粘度。 $N_L$  越大，夹卷混合机制越倾  
 148 向于均匀，反之则倾向于极端非均匀。如果仅利用过渡尺度数，仅能分析夹卷混合机制的倾  
 149 向。为了弥补该不足，除了分析过渡尺度数这个动力因子，如前所述，本文还分析微物理量  
 150 之间的关系。动力和微物理相结合，可以更好地判断夹卷混合机制。

151 在夹卷混合研究中， $\tau_{react}$  常取成雾滴蒸发的时间尺度  $\tau_{evap}$  (Burnet and Brenguier, 2007) 和  
 152 达到饱和的弛豫时间尺度  $\tau_{phase}$  (Kumar et al., 2013)。Lu et al., 2018b 探讨了不同情况下最佳云  
 153 微物理时间尺度的确定，认为当研究夹卷混合过程中云滴尺度和数浓度的变化时， $\tau_{evap}$  是实  
 154 际应用中的最佳选择。因此，本文计算  $N_L$  时所使用的时间尺度为  $\tau_{evap}$ ，即半径为  $r$  的液滴  
 155 在不饱和空气中完全蒸发所需的时间：

$$156 \quad \tau_{evap} = -\frac{r^2}{2As}, \quad (4)$$

157 其中， $s$  是过饱和度， $A$  是气压和温度的函数：

$$158 \quad A = \frac{1}{\left( \frac{L_v}{R_v t} - 1 \right) \frac{L_v \rho_L}{Kt} + \frac{\rho_L R_v t}{De_s(t)}}, \quad (5)$$

159 其中,  $L_v$  是潜热,  $R_v$  是水汽的比气体常数,  $t$  是气温,  $\rho_l$  是水的密度,  $K$  是空气的导热系  
160 数,  $D$  是水汽扩散系数,  $e_s(t)$  是气温为  $t$  时的平水面饱和水汽压。

161 根据 Kolmogorov-Obukhov 的湍流谱理论, 在惯性副区计算风速分量的湍流谱密度, 由  
162 能谱密度与耗散率之间的关系式计算得到湍流耗散率  $\varepsilon$  (Champagne et al., 1977; 刘树华等,  
163 2005):

$$164 fS_{u,v,w}(f) = a_{u,v,w} \varepsilon^{2/3} \left( \frac{2\pi f}{\bar{u}} \right)^{-2/3}, \quad (6)$$

165 其中,  $f$  为自然频率,  $S$  为能谱密度,  $a_{u,v,w}$  为 Kolmogorov 常数,  $\bar{u} = (u^2 + v^2 + w^2)^{1/2}$  为平  
166 均风速。在惯性副区,  $S$  的  $v$  和  $w$  分量是  $u$  分量的  $4/3$  倍, 由湍流各向同性理论推知相应的  
167  $a$  也应有相同的比值, 即  $a_u = 0.51, a_v = a_w = 4/3 \cdot a_u = 0.68$ 。 $S$  是  $f$  的函数, 与  $f$  的  $-5/3$  次成  
168 正比(Stull, 1988)。本文根据涡度协方差数据处理软件 EddyPro (Version 7.0.6)由三维风速计算  
169 出的湍流谱中的  $f$  和  $S_{u,v,w}$ , 再通过(6)式计算得到湍流耗散率  $\varepsilon$ 。

### 170 3 雾生消过程

#### 171 3.1 天气形势分析

172 2007 年 12 月 10 日 08 时, 500hPa 图上 110°E 附近有槽 (图略), 南京位于槽前受到西  
173 南气流影响, 且槽前有上升气流, 有利于形成降水, 10 日 20 时, 该槽东移经过 120°E (即  
174 南京附近) 且强度减弱, 形成下沉气流, 11 日 08 时, 该槽消失。700hPa 图上 10 日 08 时  
175 115°E 附近有槽, 西南暖湿气流强劲, 11 日 08 时, 在 33°N, 105°E 附近有低压中心和明显  
176 的切变线, 切变线南侧有西南风急流, 带来了大量暖湿空气。10 日 08 时至 11 日 08 时, 850hPa  
177 图上我国东南地区受西南气流控制, 低层天气形势稳定, 温度露点差小, 湿度大, 容易形成  
178 雾。在地面天气图上, 12 月 9 日 20 时至 10 日 20 时, 东部地区有倒槽, 南京阴雨连绵, 土  
179 壤和地表非常潮湿, 10 日 20 时倒槽入海, 天气转晴, 风速较小, 等压线稀疏接近于均压场,  
180 有利于近地层辐射冷却和逆温层的形成, 从而形成辐射雾。11 日 09 时之后, 由于太阳辐射  
181 增强, 雾消散。

#### 182 3.2 雾的宏、微观发展过程概况

183 根据图 1, 2007 年 12 月 10 日 22:31, 能见度低于 1km, 辐射雾形成, 11 日 7:36, 雾的  
184 爆发性增强使能见度降至最低, 其中能见度仅为 15m 的强浓雾持续了 77 分钟, 随着太阳短  
185 波辐射的增强和气温的回升, 辐射雾逐渐减弱, 至中午 12:30 能见度开始大于 1km, 雾消散,  
186 整个辐射雾过程持续时间 14 个小时。此次雾过程, 相对湿度迅速上升, 在 23:24 达到最大  
187 值 100% 并保持不变; 气温先缓慢下降, 然后再快速上升; 风速很小, 有利于雾的形成和维  
188 持, 消散时才逐渐增大; 雾爆发性增强前, 以偏南风为主, 之后以偏北风为主。

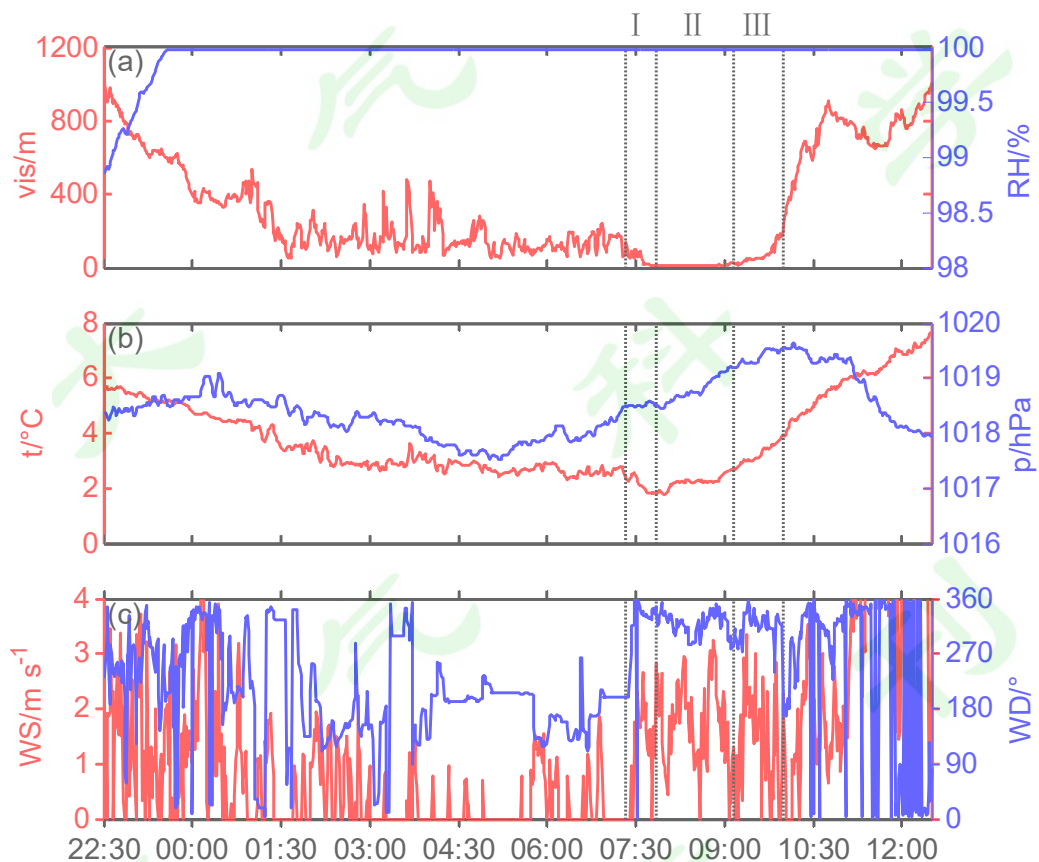
189 根据能见度、气象要素和微物理参量随时间的变化 (图 1、图 2) 可将这次辐射雾的强

190 浓雾时期及其前后细分为 3 个阶段：

191 雾爆发性增强阶段（11 日 7:20-7:50），在很短的时间（约 30min）内，雾由浓雾变为强  
192 浓雾，能见度从 7:20 的 100 余米突降到 7:45 的 15 米。降温率突然加大，降至低于 2°C。风  
193 速增大，风向由南风突转为西北风。数浓度、含水量、体积平均半径、标准差和离散度 5  
194 个微物理量均迅速增大，雾滴谱迅速拓宽。

195 成熟阶段（11 日 7:50-9:10），7:45-9:01 共 77min 一直保持着 15m 的极低能见度。温度  
196 降至整个雾过程最低温 1.8°C，随后开始增大。在 7:55 左右数浓度、含水量、体积平均半径、  
197 标准差几乎同时达到最大值。随后数浓度、含水量缓慢减小，而体积平均半径、标准差几乎  
198 保持不变，离散度甚至有所增大。

199 快速消散阶段（11 日 9:10-10:00），随着太阳短波辐射增强，地面温度迅速回升，雾滴  
200 蒸发，能见度好转。数浓度、含水量、体积平均半径这 3 个微物理量都快速减小至与爆发性  
201 增长阶段接近甚至更低。

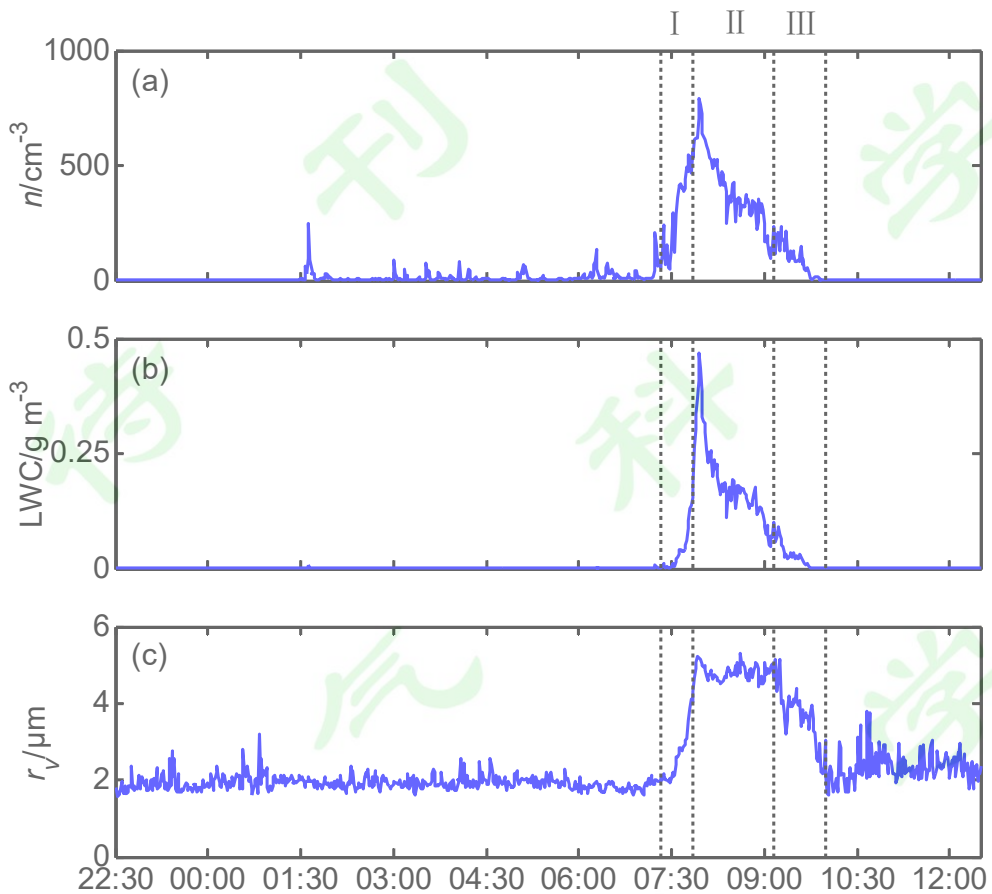


202

203 图 1 2007 年 12 月 10-11 日南京辐射雾过程中(a)能见度(vis)、相对湿度(RH)，(b)温度(t)、气压(p)，(c)风速  
204 (WS)、风向(WD)随时间的变化。图中的 I、II 和 III 分别代表雾爆发性增强阶段、成熟阶段和快速消散阶段。

205 Fig.1 Temporal variations of (a) visibility (vis), relative humidity (RH), (b) temperature (t), pressure (p), (c) wind  
206 speed (WS), wind direction (WD) in the Nanjing radiation fog during 10-11 December 2007. The I, II and III

207 represent the burst reinforcement phase, mature phase and rapid dissipation phase, respectively.

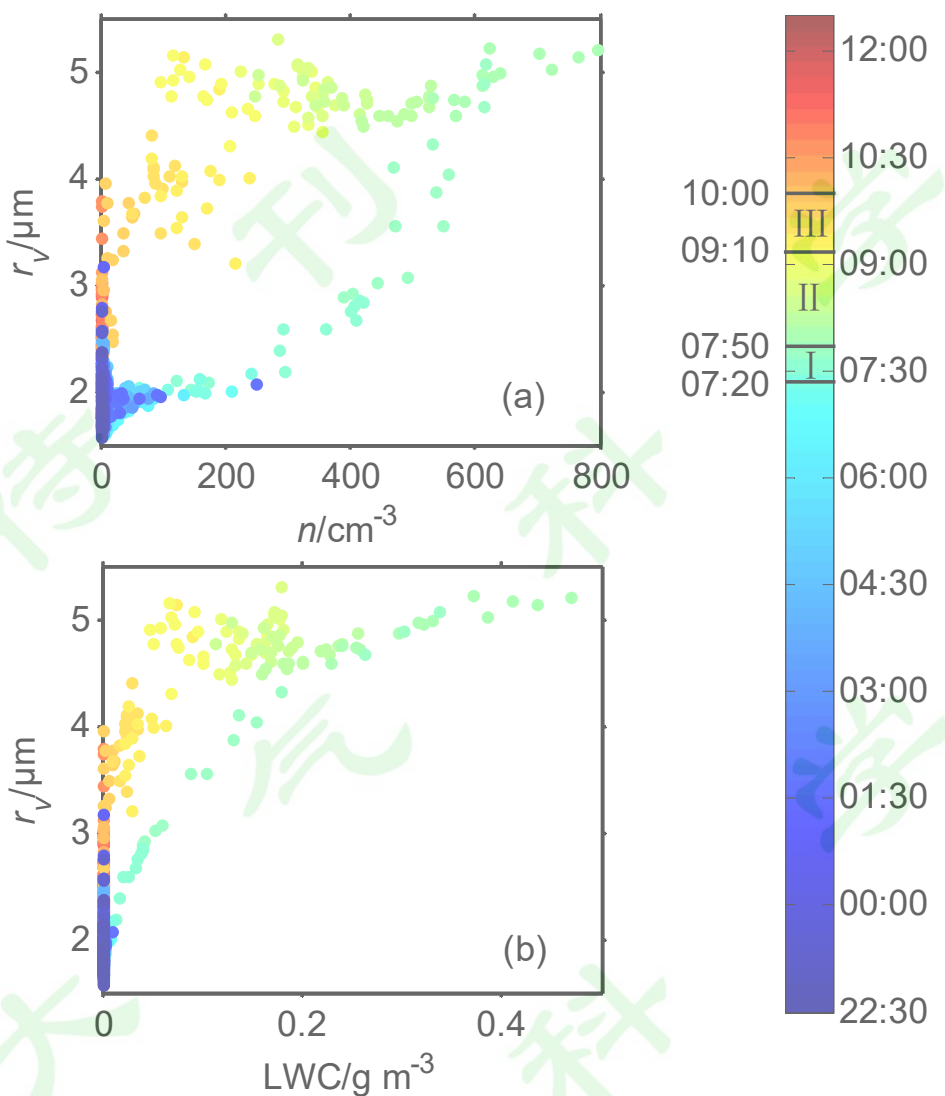


208  
209 图 2 2007 年 12 月 10-11 日南京辐射雾过程中微物理量(a)数浓度( $n$ )，(b)含水量(LWC)，(c)体积平均半径( $r_v$ )  
210 随时间的变化。图中的 I、II 和 III 分别代表雾爆发性增强阶段、成熟阶段和快速消散阶段。

211 Fig.2 Temporal variations of microphysical parameters (a) number concentration ( $n$ ), (b) liquid water content  
212 (LWC), (c) volume-mean radius ( $r_v$ ) in the Nanjing radiation fog during 10-11 December 2007. The I, II and III  
213 represent the burst reinforcement phase, mature phase and rapid dissipation phase, respectively.

## 214 4 微物理过程

215 图 3 给出了体积平均半径与数浓度、含水量之间的关系。如果不分阶段做相关性分析，  
216 那么微物理量之间主要呈正相关关系，与 Lu et al. (2013c) 的发现一致。但是，整个过程并不  
217 全是正相关关系。在雾刚形成和即将消散时各个物理量都很小，数据点都分布在每个子图的  
218 左下方，而散布在图中的数据点则是由正相关转为不相关再回到正相关。我们重点分析图 2  
219 中的三个阶段。



220

221 图 3 2007 年 12 月 10-11 日南京辐射雾过程中(a)体积平均半径( $r_v$ )与数浓度( $n$ )，(b) $r_v$  与含水量(LWC)之间的  
222 相关关系。色标表示时间，色标上的 I、II 和 III 分别代表雾爆发性增强阶段、成熟阶段和快速消散阶段。

223 Fig.3 Correlations between (a) volume-mean radius ( $r_v$ ) and number concentration ( $n$ ), (b)  $r_v$  and liquid water  
224 content (LWC) in the Nanjing radiation fog during 10-11 December 2007. Color bar shows time. The I, II and III  
225 represent the burst reinforcement phase, mature phase and rapid dissipation phase, respectively.

#### 226 4.1 成熟阶段的极端非均匀夹卷混合过程

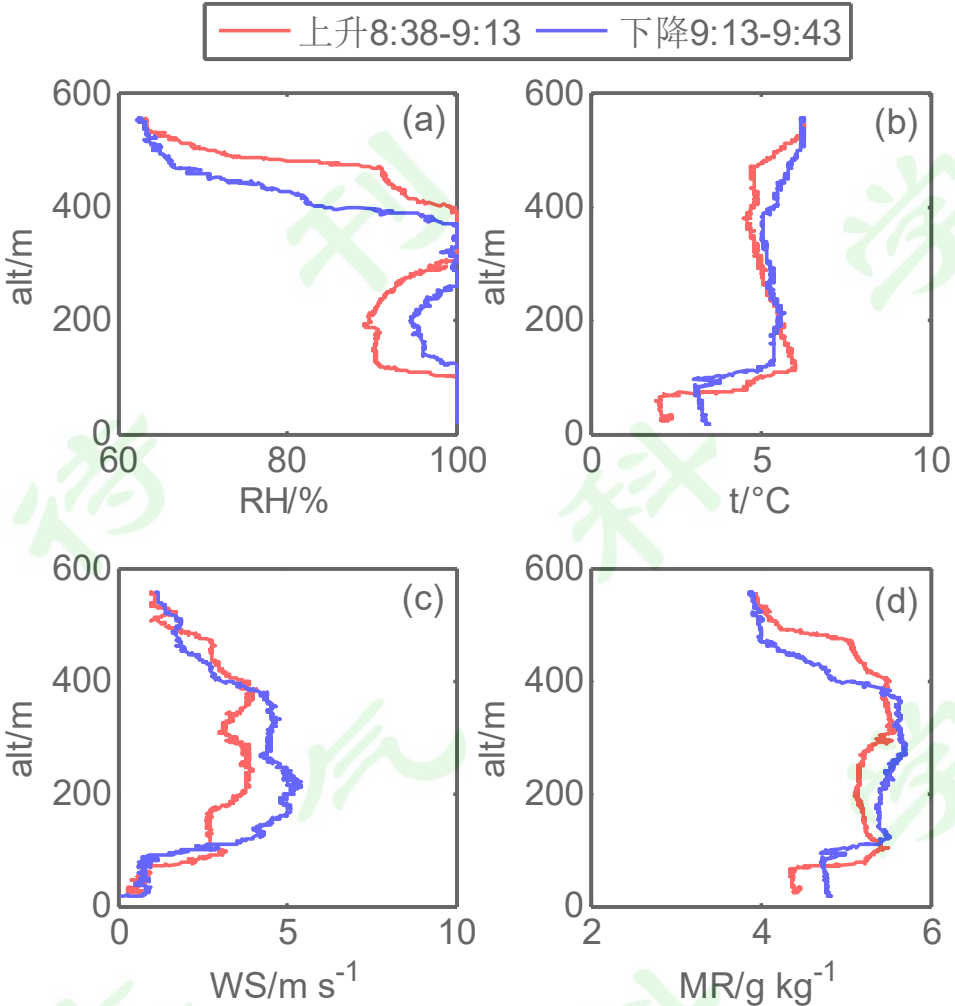
##### 227 4.1.1 微物理关系

228 由图 2 和图 3 可以看出，在雾爆发性增强阶段 (7:20-7:50) 结束后，数浓度达到最大值  
229  $794.5 \text{ cm}^{-3}$ ，含水量达到最大值  $0.47 \text{ g m}^{-3}$ ，体积平均半径在  $5 \mu\text{m}$  左右。之后在成熟阶段  
230 (7:50-9:10) 的 1 个多小时里，数浓度显著减小至  $100 \text{ cm}^{-3}$  左右，体积平均半径维持在  $5 \mu\text{m}$   
231 左右，随数浓度的减小没有明显的变化。与体积平均半径和数浓度的关系相似，含水量在爆  
232 发性增长后的 1 个多小时里逐渐减小至  $0.1 \text{ g m}^{-3}$  左右，但体积平均半径变化很小。这说明成

233 熟阶段主导的夹卷混合机制为极端非均匀夹卷混合机制(Lu et al., 2011)。Telford and Chai  
234 (1993)也曾在雾中发现数浓度变化非常大而雾滴尺度几乎不变的现象。

#### 235 4.1.2 动力因子分析

236 由于计算动力因子  $N_L$  需要雾顶之上的气象信息，故首先分析了成熟阶段的相对湿度、  
237 温度、风速以及水汽混合比的垂直分布（图 4）。由相对湿度随高度的变化可知，本次雾是  
238 双层雾。8:40 左右地面雾的雾顶约为 100m，9:40 左右地面雾的雾顶上升至 120m。9:00 左  
239 右上层雾的高度为 300-400m，9:25 左右上层雾的高度下降至 260-370m。日出之后，近地层  
240 层结趋于不稳定，湍流增强，地面雾层增厚、雾顶抬升，两层雾之间的范围减小。地面雾顶  
241 抬升亦有可能是雾顶本身有起伏，系留汽艇上升和下降时穿过的区域不同，所以测到的雾顶  
242 不同。由温度廓线可知 8:40 左右地面雾雾顶在逆温层内，逆温层高度在 70-110m，逆温强度  
243 达到  $10^{\circ}\text{C}/100\text{m}$ ，9:40 左右逆温层高度为 95-125m，逆温强度  $8.3^{\circ}\text{C}/100\text{m}$ ，逆温强度和厚度  
244 减小且高度上抬。上层雾雾顶之上也是逆温层，但逆温强度小于地面雾顶。由风速随高度  
245 的变化得知地面雾雾顶风速增大，两层雾之间风速最大，达到  $4-5\text{ m s}^{-1}$ ，即存在急流区。正是  
246 急流区的存在导致了雾的分层，这与陆春松等(2010)的结果类似。从混合比廓线来看，地  
247 面雾雾顶之下有明显的逆湿层，雾顶之上混合比减小，上层雾混合比先增大再减小，雾顶之  
248 上则快速减小。



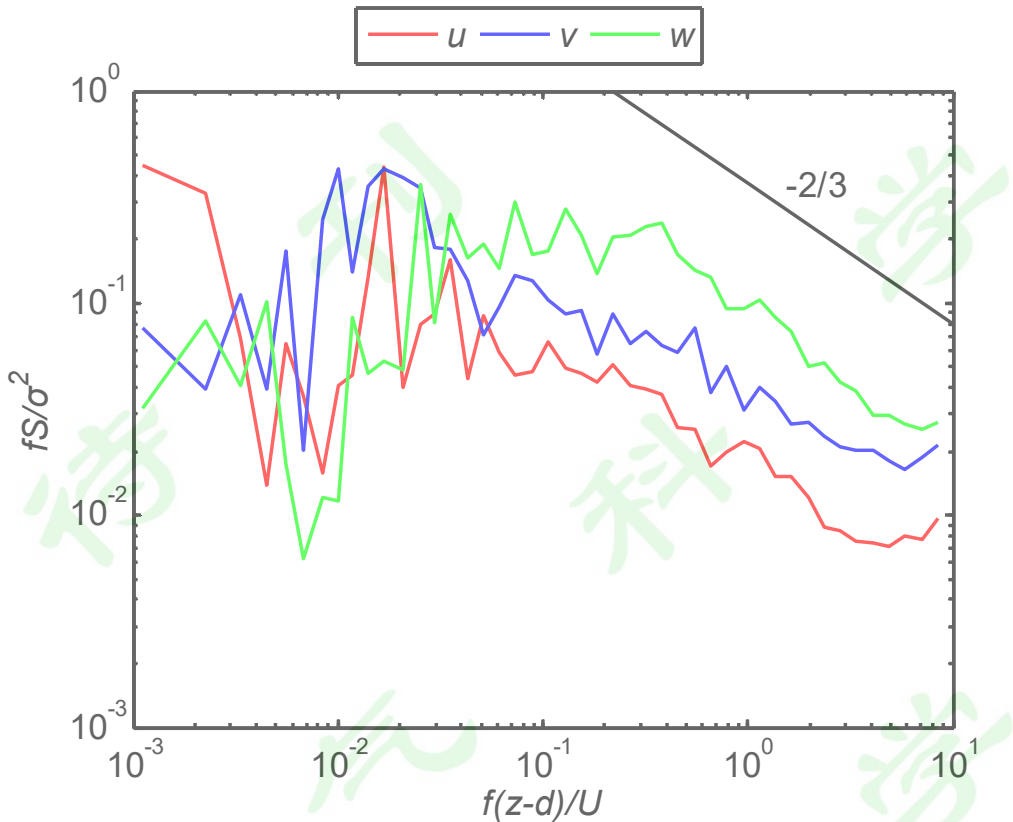
249

250 图 4 2007 年 12 月 10-11 日南京辐射雾过程中成熟阶段(a)相对湿度(RH)、(b)温度(t)、(c)风速(WS)和(d)水汽  
251 混合比(MR)随高度(alt)的变化。

252 Fig.4 Variations of (a) relative humidity (RH), (b) temperature (t), (c) wind speed (WS), (d) mixing ratio (MR)  
253 with altitude (alt) in the mature phase in the Nanjing radiation fog during 10-11 December 2007.

254 由以上分析可知, 雾具有双层结构。假定两层雾之间的环境空气被卷入地面雾中, 环境  
255 温度(公式(5)中的 $t$ )和相对湿度(RH)取两层雾之间的平均值, 公式(4)中的 $s = RH - 100\%$ ,  
256 半径 $r$ 取最大含水量对应的体积平均半径, 与以往研究中的处理方式类似(陆春松等, 2011;  
257 Lu et al., 2013b; Gao et al., 2020)。

258 此外,  $N_L$  的计算还需要 $\varepsilon$ 。利用超声风速仪的资料, 画出了本次辐射雾过程成熟阶段  
259 的归一化 $u, v, w$ 谱, 其中 $z$ 为观测高度,  $d$ 为零平面位移,  $U$ 为水平风速, 横坐标 $f(z-d)/U$   
260 表示无量纲频率,  $\sigma^2$ 为方差, 纵坐标 $fS/\sigma^2$ 表示风速功率谱的方差标准化。图 5 给出了  
261 8:30-9:00 的一个例子, 图中黑色直线斜率为-2/3, 可以看出湍流能谱在惯性副区符合-2/3 次  
262 律, 满足 Kolmogorov 的各向同性湍流理论(王介民等, 1990)。根据公式(6)计算得到 $\varepsilon$ 。



263

264 图 5 2007 年 12 月 10-11 日南京辐射雾过程 8:30-9:00 湍流能谱密度随无因次频率的变化。 $u$ 、 $v$ 、 $w$  分别代  
265 表水平纵向、水平横向和垂直三个方向。图中的符号详见正文。

266 Fig.5 Turbulence energy spectral densities as a function of the normalized frequency during 8:30-9:00 in the  
267 Nanjing radiation fog during 10-11 December 2007. The symbols  $u$ ,  $v$  and  $w$  represent horizontal longitudinal,  
268 horizontal transverse and vertical directions, respectively. See text for details of the symbols in the figure.

269 通过计算, 可得在成熟阶段, 耗散率  $\varepsilon$  为  $8.87 \times 10^{-4} \text{ m}^2 \text{ s}^{-3}$ , 过渡长度  $L^*$  为  $0.09\text{m}$ , 过渡  
270 尺度数  $N_L$  为 69.80。陆春松(2012)分析的层积云中, 夹卷混合机制为极端非均匀夹卷混合机  
271 制时的  $N_L$  都在 200 以下。与层积云类似, 雾的  $N_L$  为 69.80 更有可能是极端非均匀夹卷混合  
272 机制。环境空气被卷入雾中后, 蒸发的速度快于混合, 紧邻环境空气的雾滴完全蒸发导致被  
273 卷入的环境空气达到饱和, 该饱和湿空气块与未蒸发的雾继续混合时, 整个雾的体积平均半  
274 径不变, 数浓度和含水量减小。值得指出的是, 两层雾之间急流区环境空气的相对湿度基本  
275 上在 90%以上。如果相对湿度接近 100%, 将很难区分夹卷混合机制是均匀夹卷混合还是非  
276 均匀夹卷混合, 也有可能发生了稀释作用, 这与以往的研究一致(Gerber et al., 2008; Burnet  
277 and Brenguier, 2007; Lu et al., 2014)。

#### 278 4.2 快速消散阶段的均匀夹卷混合过程

##### 279 4.2.1 微物理关系

280 由图 2 和图 3 可知, 在消散阶段 (9:10-10:00), 数浓度、含水量和体积平均半径同时减

281 小，且体积平均半径的减小速率大于数浓度和含水量的减小速率。根据均匀/非均匀夹卷混  
282 合机制的模型，雾滴尺度和数浓度、含水量之间的正相关关系表明，在消散阶段，夹卷混合  
283 机制更趋向于均匀夹卷混合机制。这主要是由于消散阶段动量下传（陆春松等, 2010），雾顶  
284 之上的环境空气被大量卷入到雾中，同时伴随着太阳辐射的增强，气温快速上升，大量雾滴  
285 同时蒸发，这三个物理量同时减小。

#### 286 4.2.2 动力因子分析

287 在快速消散阶段， $\varepsilon$  为  $2.42 \times 10^{-3} \text{ m}^2 \text{ s}^{-3}$ ，大于成熟阶段的  $\varepsilon$ 。由此可以看出，随着雾的  
288 发展，耗散率逐渐增大，消散阶段的耗散率明显大于成熟阶段。由于缺乏快速消散阶段雾顶  
289 之上的系留气球观测资料，无法直接计算  $L^*$  和  $N_L$ 。但如果假定快速消散阶段雾顶之上的气  
290 象信息与成熟阶段相同，那么  $L^*$  和  $N_L$  在消散阶段也将比成熟阶段时大。 $N_L$  越大意味着夹  
291 卷混合类型越倾向于均匀夹卷混合。结合微物理关系的分析，快速消散阶段以均匀夹卷混合  
292 为主。

### 293 4.3 其他微物理过程

#### 294 4.3.1 核化凝结过程

295 如图 3 所示，在雾爆发性增强阶段（7:20-7:50），数浓度、含水量、体积平均半径都开  
296 始增大，两两之间均互为正相关关系，只是斜率有所不同，体积平均半径随数浓度增大的速  
297 率加快，随含水量增大的速率减慢。该正相关关系说明这段时间核化和凝结增长过程非常活  
298 跃，大量小雾滴形成、长大。Lu et al. (2013) 和 Niu et al. (2010b) 均认为核化凝结是导致这些  
299 物理量之间正相关的重要原因。

#### 300 4.3.2 碰并过程

301 碰并过程是云雾中可能出现的一个重要过程，是否出现降水是判断碰并过程强弱的一个  
302 标准。根据自动气象站的记录，本次雾过程并没有形成降水，说明碰并过程可能不强。另一  
303 个判断标准是在碰并过程中体积平均半径和含水量为正相关关系，且体积平均半径和数浓度  
304 为负相关关系(Lu et al., 2013a)。由图 3 可知，这两个相关关系不符合碰并的条件。为了更加  
305 定量地分析碰并的强度，本文计算了 Liu et al. (2005), (2006) 提出的云雨自动转化阈值函数  
306 ( $T$ )：

$$307 T = \left[ \frac{\int_{r_c}^{\infty} r^6 n_r(r) dr}{\int_0^{\infty} r^6 n_r(r) dr} \right] \left[ \frac{\int_{r_c}^{\infty} r^3 n_r(r) dr}{\int_0^{\infty} r^3 n_r(r) dr} \right], \quad (7)$$

308 其中， $r_c$  是自动转换函数的临界半径， $n_r(r)$  是单位体积单位半径范围内的云雾滴个数(Liu et  
309 al., 2004)。

$$310 r_c \approx 4.09 \times 10^{-4} \beta_{con}^{1/6} \frac{n^{1/6}}{LWC^{1/3}}, \quad (8)$$

311 其中,  $n$  为云滴谱数浓度,  $\beta_{con} = 1.15 \times 10^{23}$  是经验常数。 $T$  的取值范围为 0-1,  $T$  越大, 碰  
312 并越强。通过计算发现, 此次雾过程即使是在成熟阶段  $T$  仍非常小, 最大仅为 0.05, 这定量  
313 说明了碰并过程的影响很小。

## 314 5 其它雾中的夹卷混合机制

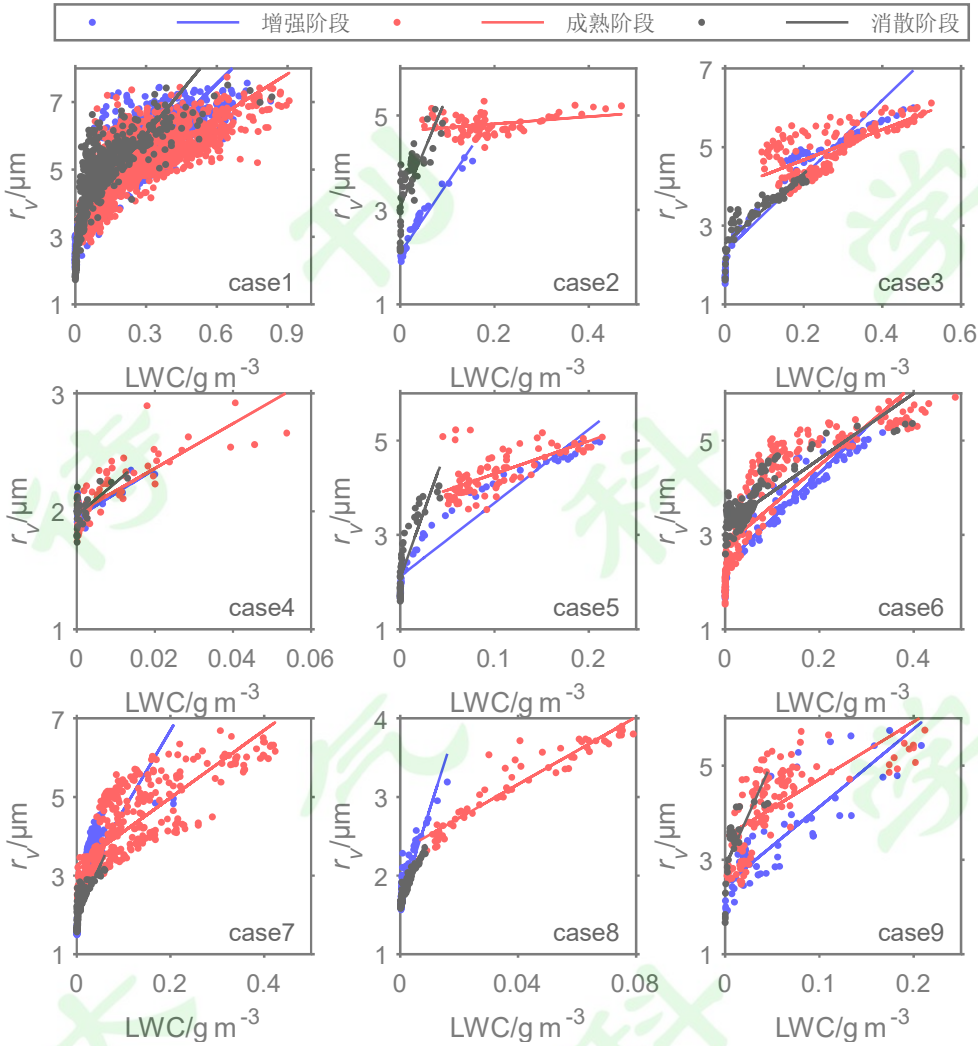
315 除了以上分析的个例, 在 2006 年和 2007 年冬季雾的综合观测试验中观测到了多次其它  
316 雾过程。本节将分析这些雾过程中的夹卷混合机制, 并与第 4 节分析的个例进行比较。表 2  
317 为 9 个典型雾过程的形成时间、消散时间和持续时间。这些雾过程有较为明显的日变化特征,  
318 一般在日落前后至午夜形成, 正午前后消散(刘端阳等, 2009; 刘端阳, 2011)。第 4 节分析的  
319 个例为表 2 中的第 2 个个例。

320 表 2 2006 年和 2007 年 9 次浓雾过程

321 Table2 Nine dense fog cases in 2006 and 2007

序号	雾过程	形成时间	消散时间	持续时间
1	2006.12.24-27	22:08	14:14	64h6min
2	2007.12.10-11	22:31	12:30	14h
3	2007.12.13-14	21:55	11:20	13h25min
4	2007.12.14-15	20:51	11:46	14h55min
5	2007.12.18	02:28	11:11	8h43min
6	2007.12.18-19	16:07	12:28	20h21min
7	2007.12.19-20	16:37	16:11	23h34min
8	2007.12.20-21	17:48	19:06	25h18min
9	2007.12.23	01:17	05:28	4h11min

322 与第 4 节一样, 我们将其它个例的雾过程分为雾增强阶段、成熟阶段和消散阶段。图 6  
323 中蓝色、红色、黑色的点和线分别表示这 3 个阶段的数据点和线性拟合线。由图 6 可知, 在  
324 这 9 次雾过程中, 大部分个例的体积平均半径和含水量之间呈正相关关系(Niu et al., 2010a;  
325 Lu et al., 2013c), 根据前面提到的均匀/非均匀夹卷混合模型, 大部分个例以均匀夹卷混合为  
326 主。只有个例 2 除了正相关, 在成熟阶段表现出了体积平均半径不变而含水量减小的关系(即  
327 线性拟合线接近水平)。这也是第 4 节对个例 2 进行详细分析的原因。



328

329 图 6 2006 年和 2007 年 9 次浓雾过程中不同阶段体积平均半径( $r_v$ )与含水量(LWC)之间的相关关系。330 Fig.6 Correlations between volume-mean radius ( $r_v$ ) and liquid water content (LWC) during different phases in 9  
331 dense fog cases in 2006 and 2007.332 

## 6 结论与展望

333 前人对夹卷混合过程的研究主要集中在云，而对雾中的夹卷混合过程研究很少，为了弥  
334 补该不足，本文利用 2006 年和 2007 年南京冬季雾的观测资料，分析得出体积平均半径和含  
335 水量之间主要呈正相关关系，夹卷混合机制主要为均匀夹卷混合。并对 2007 年 12 月 10 日  
336 22:31-11 日 12:30 一次辐射雾过程不同阶段微物理量的变化、夹卷混合机制和其他微物理过  
337 程进行了深入分析，得出以下结论：

338 在辐射雾从形成到消散的整个过程中，数浓度、含水量、体积平均半径这 3 个微物理参  
339 量两两之间主要呈正相关关系。但在不同阶段，微物理参量之间的相关关系会发生变化，随  
340 着雾的发展由正相关转为不相关再回到正相关。

341 在爆发性增强阶段，体积平均半径、数浓度和含水量两两呈正相关关系，说明该阶段核

342 化和凝结是主要的微物理过程。成熟阶段数浓度和含水量同时减小，而体积平均半径却基本  
343 保持不变。动力方面，过渡尺度数较小，这与较小的湍流耗散率和非常高的相对湿度有关，  
344 因此成熟阶段的夹卷混合机制主要为极端非均匀夹卷混合，稀释也可能起了很大作用。快速  
345 消散阶段各微物理参量同时减小，互为正相关关系，同时耗散率和过渡尺度数较大，因此快  
346 速消散阶段的夹卷混合机制主要为均匀夹卷混合。此外，通过体积平均半径和含水量的相关  
347 关系和自动转换阈值函数可知碰并过程非常弱，并不是重要的物理过程。

348 本文利用雾的外场观测数据对地面雾中的夹卷混合过程进行了分析和讨论，但是，考虑  
349 到夹卷过程始于雾顶，分析雾中不同高度的夹卷混合机制是非常重要的研究课题。此外，对  
350 雾进行外场观测和理论研究的最终目的是提高雾预报的准确性。所以，如何把夹卷混合过程  
351 与雾的数值模式相结合以优化雾的模拟预报，将是值得研究的重要方向。

## 参考文献(References)

- 1 Baker M B, Latham J. 1979. The evolution of droplet spectra and the rate of production of  
2 embryonic raindrops in small cumulus clouds [J]. *J. Atmos. Sci.*, 36 (8): 1612-1615.  
3 Baker M B, Corbin R G, Latham J. 1980. The influence of entrainment on the evolution of cloud  
4 droplet spectra: I. A model of inhomogeneous mixing [J]. *Quart. J. Roy. Meteor. Soc.*,  
5 106 (449): 581-598.  
6 鲍宝堂, 束家鑫, 朱炳权. 1995. 上海城市雾理化特性的研究 [J]. *南京气象学院学报*, 18 (1):  
7 114-118. Bao Baotang, Shu Jiaxin, Zhu Binquan. 1995. Study on physicochemical  
8 properties of urban fog in Shanghai [J]. *Journal of Nanjing Institute of Meteorology* (in  
9 Chinese), 18 (1): 114-118.  
10 Burnet F, Brenguier J-L. 2007. Observational study of the entrainment-mixing process in warm  
11 convective clouds [J]. *J. Atmos. Sci.*, 64 (6): 1995-2011.  
12 Champagne F H, Friehe Carl A, Larue J C, et al. 1977. Flux measurements, flux estimation  
13 techniques, and fine-scale turbulence measurements in the unstable surface layer over  
14 land [J]. *J. Atmos. Sci.*, 34 (3): 515-530.  
15 Chosson F, Brenguier J L, Schiiller L. 2007. Entrainment-mixing and radiative transfer simulation  
16 in boundary layer clouds [J]. *J. Atmos. Sci.*, 64(7): 2670-2682.  
17 Collett J L, Sherman D E, Moore Katharine F, et al. 2001. Aerosol particle processing and removal  
18 by fogs: Observations in chemically heterogeneous central California radiation fogs [J].  
19 *Water, Air, Soil Pollut. Focus*, 1 (5-6): 303-312.  
20 Cooper W A, Lashertrapp S G, Blyth A M. 2013. The influence of entrainment and mixing on the  
21 initial formation of rain in a warm cumulus cloud [J]. *J. Atmos. Sci.*, 70(6): 1727-1743.  
22 Freud E, Rosenfeld D, Kulkarni J R. 2011. Resolving both entrainment-mixing and number of  
23 activated CCN in deep convective clouds [J]. *Atmos. Chem. Phys.*, 11(24): 12887-12900.  
24 Fuzzi S, Facchini M C, Orsi G, et al. 1992. The po valley fog experiment 1989 [J]. *Tellus B*, 44 (5):  
25 448-468.  
26 Fuzzi S, Laj P, Ricci L, et al. 1998. Overview of the po valley fog experiment 1994 (chemdrop) [J].  
27 *Contrib. Atmos. Phys.*, 71 (1): 3-19.  
28 Gao Sinan, Lu Chunsong, Liu Yangang, et al. 2020. Contrasting scale dependence of  
29 entrainment-mixing mechanisms in stratocumulus clouds [J]. *Geophys. Res. Lett.*, 47 (9):  
30 e2020GL086970.  
31 Gerber H E, Frick G M, Jensen J B, et al. 2008. Entrainment, mixing, and microphysics in  
32 trade-wind cumulus [J]. *J. Meteor. Soc. Japan.*, 86 (A): 87-106.  
33 Gerber H E, Frick G M, Malinowski S P, et al. 2013. Entrainment rates and microphysics in POST  
34 stratocumulus [J]. *J. Geophys. Res. Atmos.*, 118 (21): 12,094-012,109.  
35 Gultepe I, Pearson G, Milbrandt J A, et al. 2009. The fog remote sensing and modeling field  
36 project [J]. *Bull. Amer. Meteor. Soc.*, 90 (3): 341-360.  
37 Gultepe Ismail, Tardif R, Michaelides Sc, et al. 2007. Fog research: A review of past achievements  
38 and future perspectives [J]. *Pure Appl. Geophys.*, 164 (6-7): 1121-1159.  
39 郭恩铭, 俞香仁, 李炎辉. 1989. 双流机场雾宏观结构研究 [C]// 全国云物理和人工影响  
40 天气会议文集. 北京: 气象出版社, 35-38. Guo Enming, Yu Xiangren, Li Yanhui. 1989.  
41 Study of macro- and micro- physical structure of Shuangliu Airport [C]// National  
42 Conference on cloud physics and weather modification (in Chinese). Beijing: China  
43

- 44 Meteorological Press, 35-38.
- 45 Guo Lijun, Guo Xueliang, Fang Chungang, et al. 2015. Observation analysis on characteristics of  
46 formation, evolution and transition of a long-lasting severe fog and haze episode in north  
47 china [J]. Science China Earth Sciences, 58 (3): 329-344.
- 48 Haeffelin M, Bergot T, Elias T, et al. 2010. Parisfog: Shedding new light on fog physical processes  
49 [J]. Bull. Amer. Meteor. Soc., 91 (6): 767-783.
- 50 Hoffmann F, Feingold G. 2019. Entrainment and Mixing in Stratocumulus: Effects of a New  
51 Explicit Subgrid-Scale Scheme for Large-Eddy Simulations with Particle-Based  
52 Microphysics [J]. J. Atmos. Sci., 76(7): 1955-1973.
- 53 胡朝霞, 雷恒池, 董剑希, 等. 2011. 一次区域暖雾的特征分析及数值模拟 [J]. 气候与环境  
54 研究, 16 (1): 71-84. Hu Zhaoxia, Lei Hengchi, Dong Jianxi, et al. 2011. Characteristic  
55 analysis and numerical simulation of a regional warm fog event [J]. Climatic and  
56 Environmental Research (in Chinese), 16 (1) :71-84.
- 57 黄玉生, 许文荣, 李子华, 等. 1992. 西双版纳地区冬季辐射雾的初步研究 [J]. 气象学报, 50  
58 (1): 112-117. Huang Yusheng, Xu Wenrong, Li Zihua, et al. 1992. An observation and  
59 analysis on the radiation fog in Xishuangbanna [J]. Acta Meteorologica Sinica (in  
60 Chinese), 50 (1): 112-117.
- 61 Jeffery C A. 2007. Inhomogeneous cloud evaporation, invariance, and Damköhler number [J]. J.  
62 Geophys. Res. Atmos., 112(D24):D24S21.
- 63 Jensen J B , Austin P H , Baker M B , et al. 1985. Turbulent mixing, spectral evolution and  
64 dynamics in a warm cumulus cloud [J]. J. Atmos. Sci., 42(2):173-192.
- 65 Jia Xingcan, Quan Jiannong, Zheng Ziyan, et al. 2019. Impacts of Anthropogenic Aerosols on Fog  
66 in North China Plain[J]. J. Geophys. Res. Atmos., 124(1): 252-265.
- 67 Kim B-G, Miller M A, Schwartz S E, et al. 2008. The role of adiabaticity in the aerosol first  
68 indirect effect [J]. J. Geophys. Res. Atmos., 113 (D5): D05210.
- 69 Krueger S K. 1993. Linear eddy modeling of entrainment and mixing in stratus clouds [J]. J.  
70 Geophys. Res. Atmos., 50(18): 3078-3090.
- 71 Kumar B, Schumacher J, Shaw R A. 2013. Cloud microphysical effects of turbulent mixing and  
72 entrainment [J]. Theor. Comput. Fluid Dyn., 27 (3-4): 361-376.
- 73 Kumar B, Götzfried P, Suresh N, et al. 2018. Scale Dependence of Cloud Microphysical Response  
74 to Turbulent Entrainment and Mixing [J]. Journal of Advances in Modeling Earth  
75 Systems, 10(11):2777-2785.
- 76 Latham J, Reed R L. 1977. Laboratory studies of the effects of mixing on the evolution of cloud  
77 droplet spectra [J]. Quart. J. Roy. Meteor. Soc., 103 (436): 297-306.
- 78 Lehmann K, Siebert H, Shaw R A. 2009. Homogeneous and inhomogeneous mixing in cumulus  
79 clouds: Dependence on local turbulence structure [J]. J. Atmos. Sci., 66 (12): 3641-3659.
- 80 李子华, 彭中贵. 1994. 重庆市冬季雾的物理化学特性 [J]. 气象学报, 52 (4): 477-483. Li  
81 Zihua, Peng Zhonggui. 1994. Physical and chemical characteristics of the Chongqing  
82 winter fog [J]. Acta Meteorologica Sinica (in Chinese), 52 (4): 477-483.
- 83 李子华, 黄建平, 周毓荃, 等. 1999. 1996年南京连续5天浓雾的物理结构特征 [J]. 气象学报,  
84 57 (5): 622-631. Li Zihua, Huang Jianping, Zhou Yuquan, et al. 1999. Physical structures  
85 of the five-day sustained fog around Nanjing in 1996 [J]. Acta Meteorologica Sinica (in  
86 Chinese), 57 (5): 622-631.
- 87 李子华, 杨军, 石春娥. 2008. 地区性浓雾物理 [M]. 北京: 气象出版社, 1-14. Li Zihua, Yang

- 88 Jun, Shi Chun'e. 2008. The physics of regional dense fog (in Chinese) [M]. Beijing:  
89 China Meteorological Press, 1-14.
- 90 李子华, 刘端阳, 杨军. 2011. 辐射雾雾滴谱拓宽的微物理过程和宏观条件 [J]. 大气科学, 35  
91 (1): 41-54. Li Zihua, Liu Duanyang, Yang Jun. 2011. The microphysical processes and  
92 macroscopic conditions of the radiation fog droplet spectrum broadening [J] .Chinese  
93 Journal of Atmospheric Sciences (in Chinese), 35 (1): 41-54.
- 94 Li Zihua , Liu Duanyang , Yan Wenlian , et al. 2019. Dense fog burst reinforcement over Eastern  
95 China: A review [J]. Atmos. Res., 230:104639.
- 96 刘端阳, 濮梅娟, 杨军, 等. 2009. 2006 年 12 月南京连续 4 天浓雾的微物理结构及演变特征  
97 [J]. 气象学报, 67 (1): 147-157. Li Duanyang, Pu Meijuan, Yang Jun , et al. 2009.  
98 Microphysical structure and evolution of four-day persistent fogs around Nanjing in  
99 December 2006. Acta Meteorologica Sinica ,67(1): 147-157.
- 100 刘端阳. 2011. 南京冬季雾宏微观物理结构的观测研究 [D]. 南京信息工程大学博士学位论  
101 文. Liu Duanyang. 2011. Observational study on the winter fog macro- micro-physical  
102 structures in Nanjing [D]. Ph. D. dissertation (in Chinese), Nanjing University of  
103 Information Science and Technology.
- 104 Liu Duanyang, Yang Jun, Niu Shengjie, et al. 2011. On the evolution and structure of a radiation  
105 fog event in nanjing [J]. Adv. Atmos. Sci., 28 (1): 223-237.
- 106 Liu Duanyang, Niu Shengjie, Yang Jun, et al. 2012. Summary of a 4-year fog field study in  
107 northern nanjing, part 1: Fog boundary layer [J]. Pure Appl. Geophys., 169 (5-6):  
108 809-819.
- 109 刘树华, 刘和平, 李洁, 等. 2005. 在 ebex-2000 实验资料中湍流耗散率、长度尺度和结构参  
110 数特征 [J]. 大气科学, 29 (3): 475-481. Liu Shuhua, Liu Heping, Li Jie. 2005.  
111 Characteristics of turbulence dissipation rates, characteristic length scales and structure  
112 parameters in EBEX-2000 [J] .Chinese Journal of Atmospheric Sciences (in Chinese), 29  
113 (3): 475-481.
- 114 Liu Yangang, Daum P H, Mcgraw R. 2004. An analytical expression for predicting the critical  
115 radius in the autoconversion parameterization [J]. Geophys. Res. Lett., 31 (6): L06121.
- 116 Liu Yangang, Daum P H, Mcgraw R. 2005. Size truncation effect, threshold behavior, and a new  
117 type of autoconversion parameterization [J]. Geophys. Res. Lett., 32 (11): L11811.
- 118 Liu Yangang, Daum P H, Mcgraw R, et al. 2006. Generalized threshold function accounting for  
119 effect of relative dispersion on threshold behavior of autoconversion process [J]. Geophys.  
120 Res. Lett., 33 (11): L11804.
- 121 陆春松, 牛生杰, 杨军, 等. 2010. 南京冬季一次雾过程宏微观结构的突变特征及成因分析  
122 [J]. 大气科学, 34 (4): 681-690. Lu Chunsong, Niu Shengjie, Yang Jun, et al. 2010. Jump  
123 features and causes of macro and microphysical structures of a winter fog in Nanjing [J].  
124 Chinese Journal of Atmospheric Sciences (in Chinese), 34 (4): 681-690.
- 125 陆春松, 牛生杰, 岳平, 等. 2011. 南京冬季雾多发期边界层结构观测分析 [J]. 大气科学学  
126 报, 34 (1): 58-65. Lu Chunsong, Niu Shengjie, Yue Ping, et al. 2011. Observational  
127 research on boundary layer structure during high incidence period of winter fog in  
128 Nanjing [J]. Transactions of Atmospheric Sciences (in Chinese), 34 (1): 58-65.
- 129 Lu Chunsong, Liu Yangang, Niu Shengjie. 2011. Examination of turbulent entrainment-mixing  
130 mechanisms using a combined approach [J]. J. Geophys. Res., 116 (D20): D20207.
- 131 陆春松. 2012. 雾和低云主要宏微观物理过程的研究 [D]. 南京信息工程大学博士学位论文.

- 132 Lu Chunsong. 2012. Investigation of main macro and micro physical processes in fogs  
133 and low-level clouds [D]. Ph. D. dissertation (in Chinese), Nanjing University of  
134 Information Science and Technology.
- 135 Lu Chunsong, Liu Yangang, Niu Shengjie. 2013a. A method for distinguishing and linking  
136 turbulent entrainment mixing and collision-coalescence in stratocumulus clouds [J]. Chin.  
137 Sci. Bull., 58 (4-5): 545-551.
- 138 Lu Chunsong, Liu Yangang, Niu Shengjie, et al. 2013b. Exploring parameterization for turbulent  
139 entrainment-mixing processes in clouds [J]. J. Geophys. Res. Atmos., 118 (1): 185-194.
- 140 Lu Chunsong, Liu Yangang, Niu Shengjie, et al. 2013c. Examination of microphysical  
141 relationships and corresponding microphysical processes in warm fogs [J]. Acta  
142 Meteorologica Sinica, 27 (6): 832-848.
- 143 Lu Chunsong, Liu Yangang, Niu Shengjie, et al. 2014. Scale dependence of entrainment-mixing  
144 mechanisms in cumulus clouds [J]. J. Geophys. Res. Atmos., 119 (24): 13877-13890.
- 145 Lu Chunsong, Liu Yangang, Niu Shengjie, et al. 2018a. Broadening of cloud droplet size  
146 distributions and warm rain initiation associated with turbulence: An overview [J].  
147 Atmospheric and Oceanic Science Letters, 11 (2): 123-135.
- 148 Lu Chunsong, Liu Yangang, Zhu Bin, et al. 2018b. On which microphysical time scales to use in  
149 studies of entrainment-mixing mechanisms in clouds [J]. J. Geophys. Res. Atmos., 123  
150 (7): 3740-3756.
- 151 Luo Shi, Lu Chunsong, Liu Yangang, et al. 2020. Parameterizations of Entrainment-Mixing  
152 Mechanisms and Their Effects on Cloud Droplet Spectral Width Based on Numerical  
153 Simulations [J]. J. Geophys. Res. Atmos., 125(22): e2020JD032972.
- 154 Niu Shengjie, Lu Chunsong, Liu Yangang, et al. 2010a. Analysis of the microphysical structure of  
155 heavy fog using a droplet spectrometer: A case study [J]. Adv. Atmos. Sci., 27 (6):  
156 1259-1275.
- 157 Niu Shengjie, Lu Chunsong, Yu Huaying, et al. 2010b. Fog research in China: An overview [J].  
158 Adv. Atmos. Sci., 27 (3): 639-662.
- 159 Niu Shengjie, Liu Duanyang, Zhao Lijuan, et al. 2012. Summary of a 4-year fog field study in  
160 northern nanjing, part 2: Fog microphysics [J]. Pure Appl. Geophys., 169 (5-6):  
161 1137-1155.
- 162 Pilié R J, Mack E J, Kocmond W C, et al. 1975. The life cycle of valley fog. Part i:  
163 Micrometeorological characteristics [J]. J. Appl. Meteor., 14 (3): 347-363.
- 164 Roach W T, Brown R, Caughey S J, et al. 1976. The physics of radiation fog: I-a field study [J].  
165 Quart. J. Roy. Meteor. Soc., 102 (432): 313-333.
- 166 Shao Hongfei, Liu Guosheng. 2006. Influence of mixing on evaluation of the aerosol first indirect  
167 effect [J]. Geophys. Res. Lett., 33 (14): L14809.
- 168 Stommel H. 1947. Entrainment of air into a cumulus cloud [J]. J. Atmos. Sci., 4 (2): 91-94.
- 169 Stull R B. 1988. An Introduction to Boundary Layer Meteorology [M]. Springer Science &  
170 Business Media, 312-318.
- 171 Taylor G I. 1917. The formation of fog and mist [J]. Quart. J. Roy. Meteor. Soc., 43 (183):  
172 241-268.
- 173 Telford J W, Chai S K. 1993. Marine fog and its dissipation over warm water [J]. J. Atmos. Sci.,  
174 50 (19): 3336-3349.
- 175 Telford J W. 1996. Clouds with turbulence; the role of entrainment [J]. Atmos. Res., 40(2-4):

- 176 261-282.
- 177 Wang Jian, Daum P H, Yum S S, et al. 2009. Observations of marine stratocumulus microphysics  
178 and implications for processes controlling droplet spectra: Results from the Marine  
179 Stratus/Stratocumulus Experiment [J]. *J. Geophys. Res. Atmos.*, 114: D18210.
- 180 王介民, 刘晓虎, 祁永强. 1990. 应用涡旋相关方法对戈壁地区湍流输送特征的初步研究 [J].  
181 高原气象, 9 (2): 120-129. Wang Jiemin, Liu Xiaohu, Qi Yongqiang. 1990. A preliminary  
182 study of turbulence transfer characteristics in gobi area with an eddy correlation technique  
183 [J]. *Plateau Meteorology* (in Chinese), 9 (2): 120-129.
- 184 Warner J. 1973. The microstructure of cumulus cloud: Part iv. The effect on the droplet spectrum  
185 of mixing between cloud and environment [J]. *J. Atmos. Sci.*, 30 (2): 256-261.
- 186 吴兑, 邓雪娇, 毛节泰, 等. 2007. 南岭大瑶山高速公路浓雾的宏微观结构与能见度研究 [J].  
187 气象学报, 65 (3): 406-415. Wu Dui, Deng Xuejiao, Mao Jietai, et al. 2007. A study on  
188 macro- and micro- structures of heavy fog and visibility at freeway in the Nanling  
189 Dayashan Mountain [J]. *Acta Meteorologica Sinica* (in Chinese), 65 (3): 406-415.
- 190 Yang Yue, Gao Shanhong. 2019. The impact of turbulent diffusion driven by fog-top cooling on  
191 sea fog development [J]. *J. Geophys. Res. Atmos.*, 125(4): e2019JD031562.
- 192 Yum Seong Soo. 1998. Cloud droplet spectral broadening in warm clouds: An observational and  
193 model study [D]. Ph. D. dissertation, University of Nevada.
- 194 Yum Seong Soo, Wang Jian, Liu Yangang, et al. 2015. Cloud microphysical relationships and their  
195 implication on entrainment and mixing mechanism for the stratocumulus clouds measured  
196 during the vocals project [J]. *J. Geophys. Res. Atmos.*, 120 (10): 5047-5069.
- 197 中国气象局. 2003. 地面气象观测规范 [M]. 北京: 气象出版社, 23-25. China Meteorological  
198 Administration. 2003. Specifications for Surface Meteorological Observation (in Chinese)  
199 [M]. Beijing: China Meteorological Press, 23-25.